

تولید و تخلیص پنتالریتریتول - بررسی عوامل مؤثر بر بازده تولید و مطالعه روش‌های تخلیص

گیتی ابوالحمد

دانشیار گروه مهندسی شیمی - دانشکده فنی - دانشگاه تهران
جعفر احمدی

کارشناس گروه مهندسی شیمی - دانشکده فنی - دانشگاه تهران

(تاریخ دریافت ۲۶/۳/۸۰، تاریخ تصویب ۳۰/۸/۸۰)

چکیده

پنتالریتریتول یک الکل چهارظرفیتی است که کاربرد عمده آن در صنایع رنگسازی (تصویرت رزینهای الکلی) و صنایع نظامی می‌باشد. این ماده از واکنش بین استالدئید و فرمالدئید در مجاورت سود در محلول آبی تولید می‌شود. محصولات جانبی واکنش عبارتند از: دی‌پنتالریتریتول، فرمیات سدیم و فرمالهای مختلف خطی و حلقی.

از آنجا که هدف این تحقیق تولید پنتالریتریتول با بازده و خلوص بالا بوده است، ابتدا پارامترهای عملیاتی مؤثر بر بازده مورد بررسی قرار گرفتند و بدین ترتیب محدوده‌های مناسب عملیاتی از نظر دما، زمان، نسبت مولی واکنشگرها مشخص شدند.

در مرحله بعد، با توجه به اینکه کاربردهای پنتالریتریتول خلوص بالایی را ایجاد می‌کند، روش‌های مختلف تخلیص نظیر تبلور، هیدرولیز توأم با رفلکس اسید، جذب توسط کربن فعال، جداسازی براساس اختلاف حلایق حلایق مورد بررسی و آزمایش قرار گرفتند. نتایج نشان داد که جداسازی براساس اختلاف حلایق حلایق مناسب‌ترین روش است که در تلفیق با تبلور، می‌تواند درجه خلوص پنتالریتریتول را تا ۹۹/۴ درصد افزایش دهد.

واژه‌های کلیدی: پنتالریتریتول، فرمالدئید، استالدئید، تبلور، تخلیص، هیدرولیز، هسته زایی، رشد بلور، فرمالهای دی‌پنتالریتریتول

مقدمه

کاربرد وسیعی دارند. مصرف مهم دیگر این ماده در صنایع نظامی بصورت پنتالریتریتول تترانیترات است. بعضی استرهای پنتالریتریتول بعنوان نرم‌کننده رزینهای بکار می‌روند. پنتالریتریتول در ساخت تثبیت کننده حرارتی کلرید وینیل نیز استفاده می‌شود.

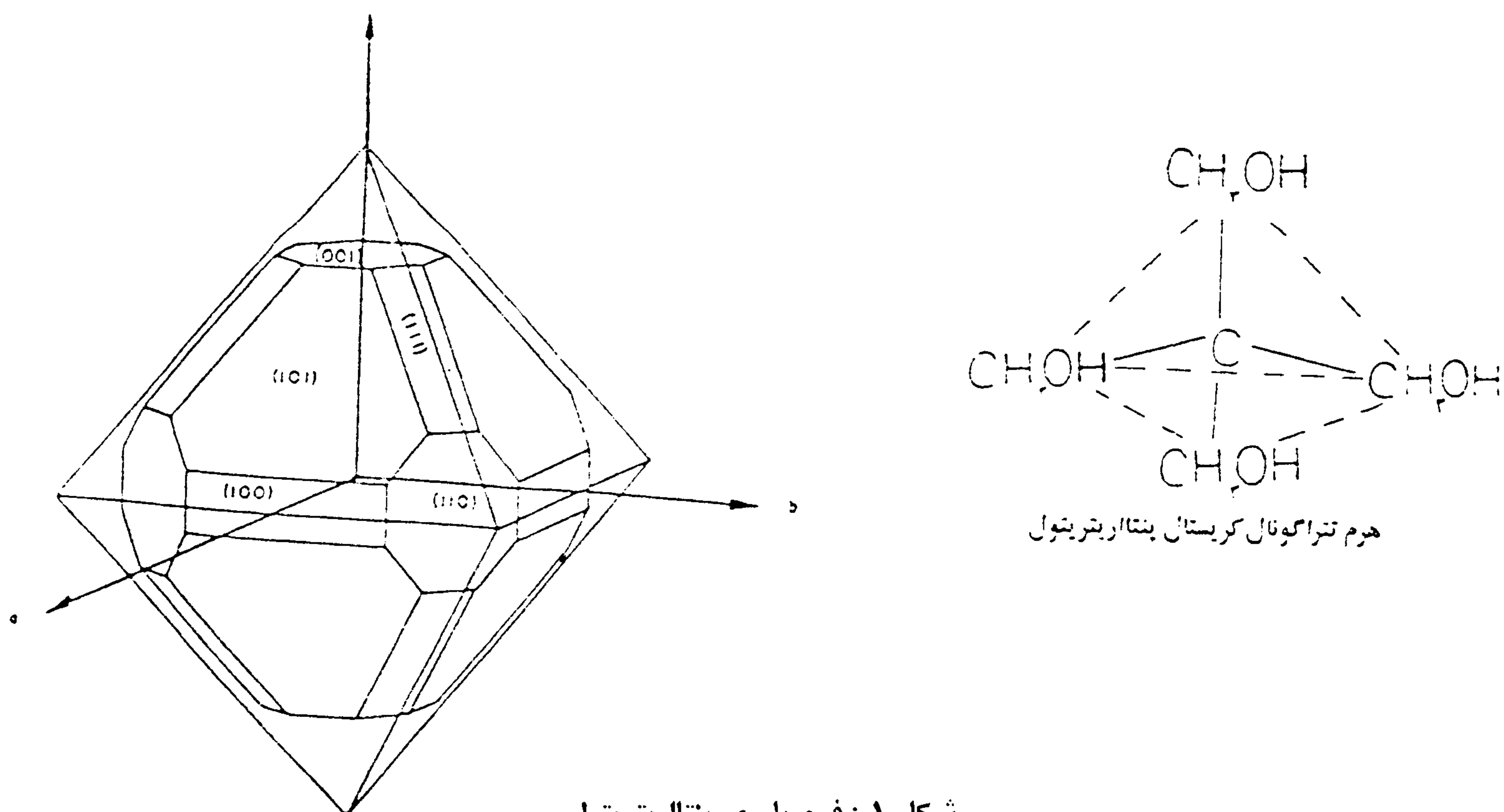
در ایران، میزان مصرف پنتالریتریتول بین ۳ تا ۱۵ هزار تن در سال است که تماماً از خارج تامین می‌گردد. با توجه به موجود بودن مواد اولیه تولید پنتالریتریتول (فرمالدئید، استالدئید و سود) در کشور، به نظر می‌رسد بررسی زمینه‌های تولید این ماده و تعیین شرایط بهینه عملیاتی مفید و مناسب باشد. در همین راستا، تحقیق حاضر طی دو مرحله انجام شد:

پنتالریتریتول یک الکل چهارظرفیتی به فرمول $C(CH_2OH)_4$ است که در سال ۱۸۸۲ بطور اتفاقی توسط تولز [۱-۳] کشف شد. مشخصات این ماده در جدول (۱) و فرم بلوری آن در شکل (۱) ارائه شده است. این ماده اولین بار برای ساخت مواد منجره مورد استفاده قرار گرفت. تا پیش از جنگ جهانی دوم، تولید آن در ایالات متحده چندان زیاد نبود، ولی در طول جنگ و پس از آن با توسعه روزافزون صنایع پتروشیمی، تولید آن افزایش یافت بطوریکه در سال ۱۹۷۶ به حدود ۵۲ هزار تن در سال رسید [۱].

در حال حاضر حدود ۸۰٪ پنتالریتریتول تولیدی صرف ساخت رزینهای الکلی می‌شود که در صنایع رنگسازی

جدول ۱ : مشخصات پنتا اریتریتول.

مشخصات ظاهری	نقاطه ذوب	نقاطه جوش ۳۰ mmHg	چگالی	فرمول شیمیایی	وجه تسمیه و سایر اسامی
حامد بلوری (تتراگونال) سفید- بی بو حاذب الرطوبه	۲۶۱-۲۶۲°C	۲۶۶°C	۱/۳۹۶	$\begin{array}{c} \text{CH}_2\text{OH} \\ \\ \text{HOCH}-\text{C}-\text{CH}_2\text{O} \\ \\ \text{CH}_2\text{OH} \end{array}$	* پنتا: معرف ۵ اتم کربن در مولکول * اریتریتول : معرف حضور ۴ گروه هیدروکسیل در ملکول - تترامتیل متان - ۲و ۲ بیس هیدروکسی متیل ۱ و ۳ پروپان

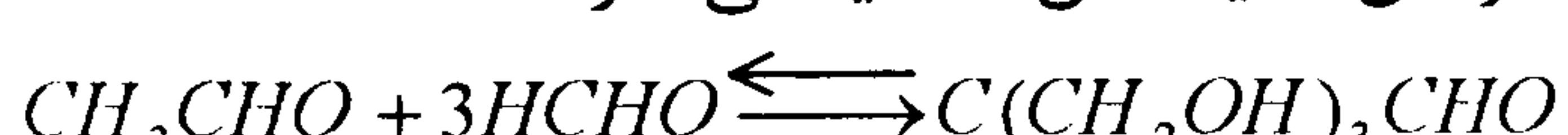


شکل ۱ : فرم بلوری پنتا اریتریتول.

در حضور یک قلیا (معمولًا سود) تولید می‌شود [۲، ۴، ۵]. فرآیند تولید پنتا اریتریتول شامل دو واکنش آلدولی شدن و کانیزaro می‌باشد [۱، ۶].

در واکنش تراکم آلدولی، اتمهای هیدروژن آلفای استالدئید با فرمالدئید متراکم می‌شوند و طی سه مرحله پیاپی، سریع و برگشت پذیر، پنتا اریتریتول ایجاد می‌شود.

در این مراحل، قلیا نقش کاتالیستی دارد:



(1)

- تولید آزمایشگاهی پنتا اریتریتول و بررسی عوامل مؤثر بر بازده

- بررسی روش‌های تخلیص پنتا اریتریتول با توجه به اینکه کاربردهای این ماده بویژه در صنایع نظامی، خلوص بالایی را ایجاد می‌نماید.

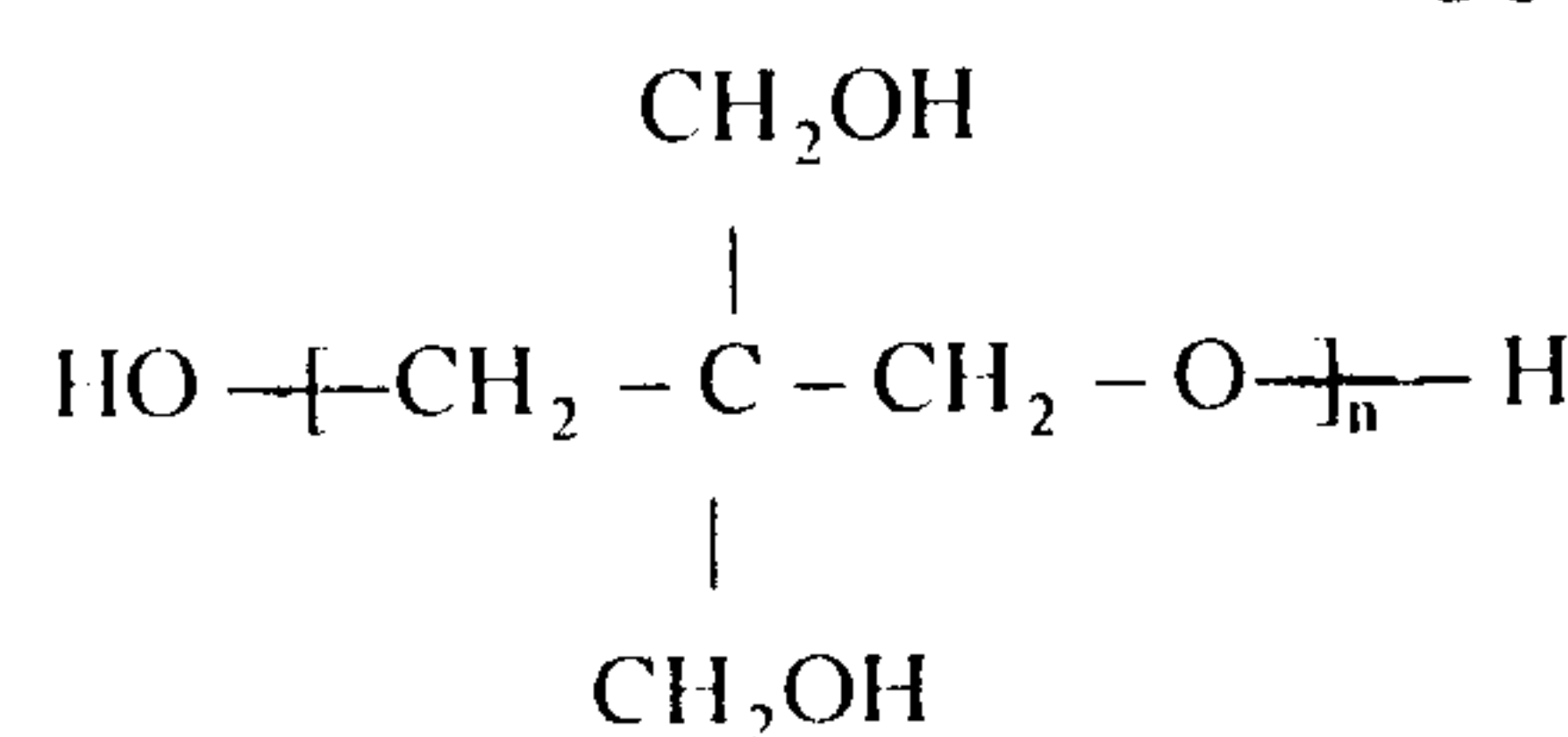
بررسیهای نظری فرآیند تولید پنتا اریتریتول

پنتا اریتریتول در اثر واکنش استالدئید با فرمالدئید

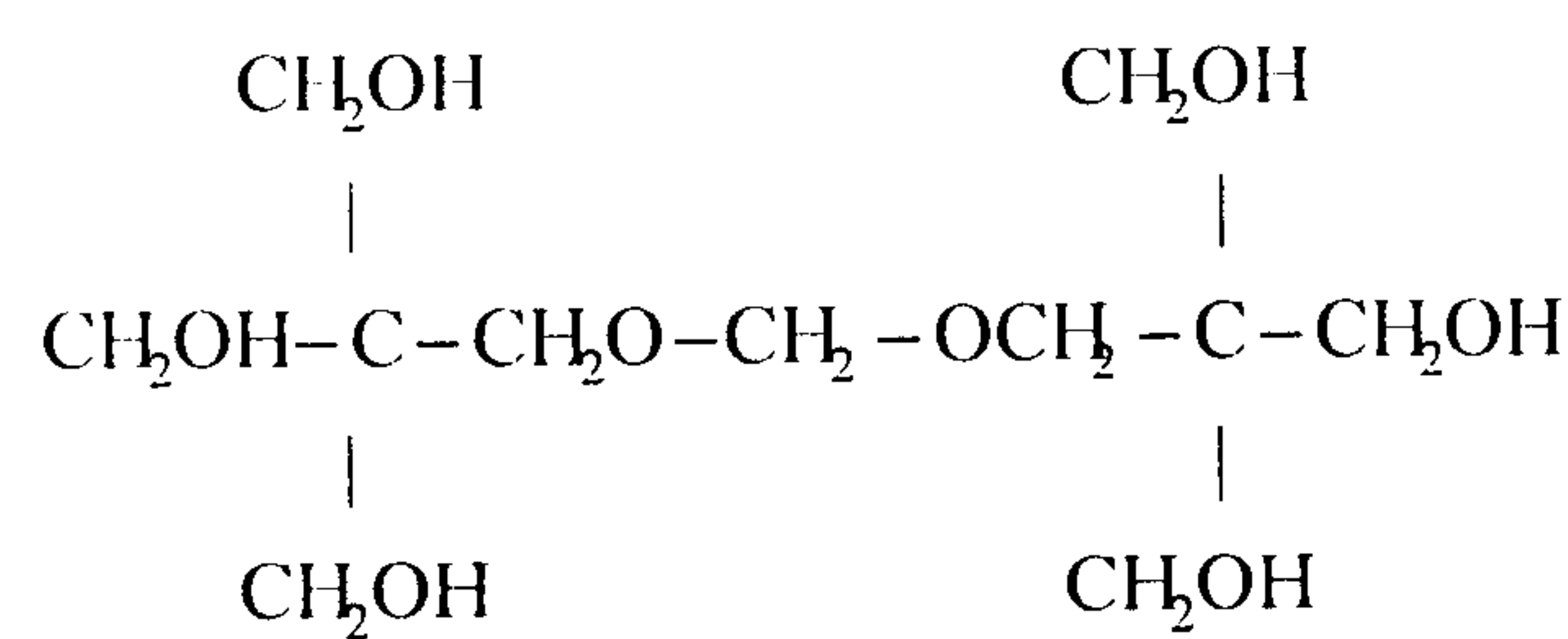
فرمیات سدیم، متانول، ترکیبات قندی و گلوکز، فرمالهها (بیس پنتاکریتیتول منوفرمال)، دی، تری و پلی پنتاکریتیتول

۳- ناخالصیهای همراه واکنشگرها نظیر: پروپیونالدئید، ایزو و نرمال بوتیرالدئید، تری متیول اتان و پروپان، نئوپنتیل گلیکول

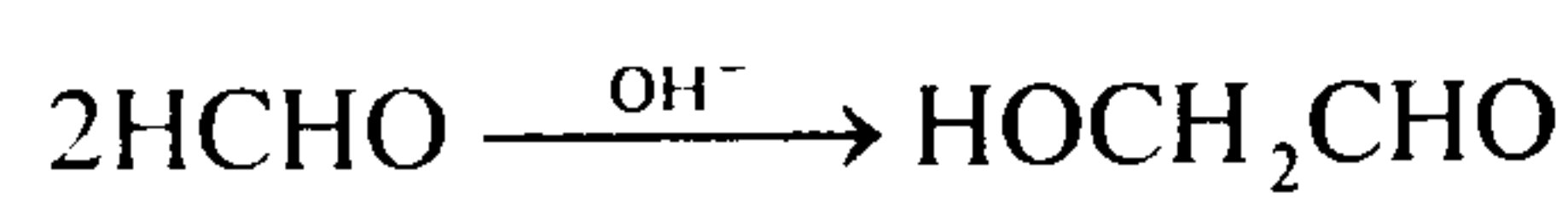
معمولترین و عمده ترین این ناخالصیهای عبارتند از فرمالدئید (HCHO)، فرمیات سدیم (HCOONa) ناشی از واکنش کانیزاروی ملکولهای فرمالدئید (سرعت این واکنش در دمای بالاتر از 40°C و $\text{pH} > 10$ افزایش می‌یابد که می‌توان با کنترل دما و غلظت فرمالدئید مانع آن شد)، دی، تری و پلی پنتاکریتیتول [۴]:



بیس پنتاکریتیتول منوفرمال



و ماده‌ای شکری شکل که ناشی از افزایش ملکولهای فرمالدئید بوده، رنگ کاراملی (قند سوخته) به محصول می‌دهد.

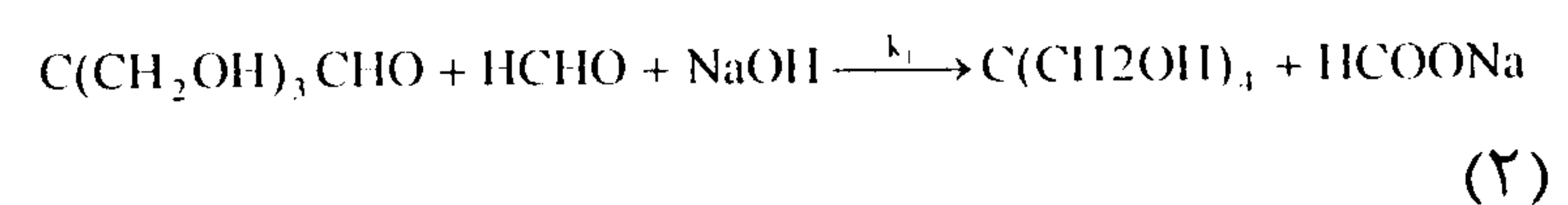


این واکنش در غلظت بالای فرمالدئید و دمای بالاتر از 60°C تسريع می‌شود.

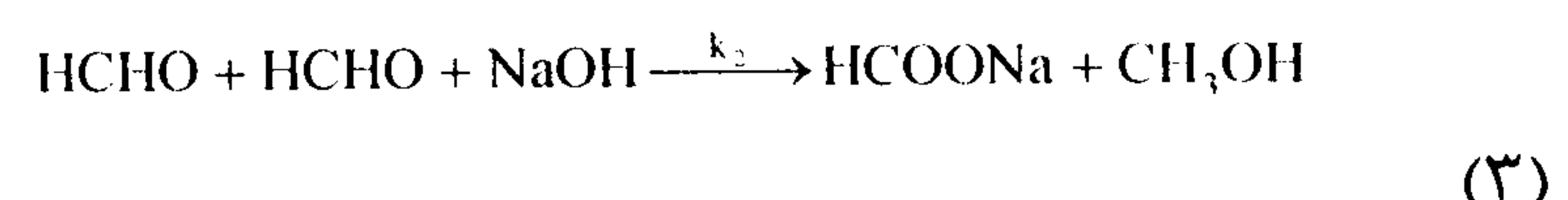
جهت تخلیص پنتاکریتیتول، روش‌های مختلفی توسط محققان و شرکتها ارائه شده است که در اینجا تنها به ذکر اسامی آنها اکتفا می‌شود [۱، ۴، ۹، ۱۱، ۱۴، ۲۱ تا ۲۲]: اوهاما^۳، ورل^۴، ایک^۵، راجرز^۶، کوزنتسووا^۷، بریتیش پتنت^۸، رهماتول^۹، استاندارد سولفیت^{۱۰}، ریاسوا^{۱۱}، چیانیز^{۱۲}، کاکس^{۱۳}، وایلر^{۱۴}، مرتز^{۱۵}، کین^{۱۶}، وایلی^{۱۷}.

بررسی این روشها نشان می‌دهد که در تمامی آنها فرآیند

در واکنش کانیزارو، پنتاکریتیتول تشکیل شده با یک مول سود و یک مول فرمالدئید وارد فعل و انفعال شده، پنتاکریتیتول و فرمیات سدیم تولید می‌شود. این واکنش نسبت به واکنش اول بسیار کند می‌باشد [۸، ۷].



همزمان با واکنش اصلی، واکنش‌های جانبی نیز انجام می‌شوند. مهمترین آنها واکنش بین دو مول فرمالدئید است که منجر به تولید فرمیات سدیم و متانول می‌گردد [۸].



با استفاده از فرضیات ساده کننده، مدل سینتیکی این واکنش‌ها بررسی و بصورت زیر ارائه شده است [۷]:

$$k_1t = \frac{1}{(A_0 - B_0)(B_0 - C_0)(C_0 - A_0)} \ln \left[\left(\frac{A}{A_0} \right)^{B_0 - C_0} \left(\frac{B}{B_0} \right)^{C_0 - A_0} \left(\frac{C}{C_0} \right)^{A_0 - B_0} \right] \quad (4)$$

A ، B و C به ترتیب غلظت‌های فرمالدئید، سود و پنتاکریتیتول، A_0 ، B_0 و C_0 غلظت‌های اولیه فرمالدئید، سود و پنتاکریتیتول

k_1 و k_2 نیز ثابت‌های سرعت واکنشهای ۲ و ۳ می‌باشند.

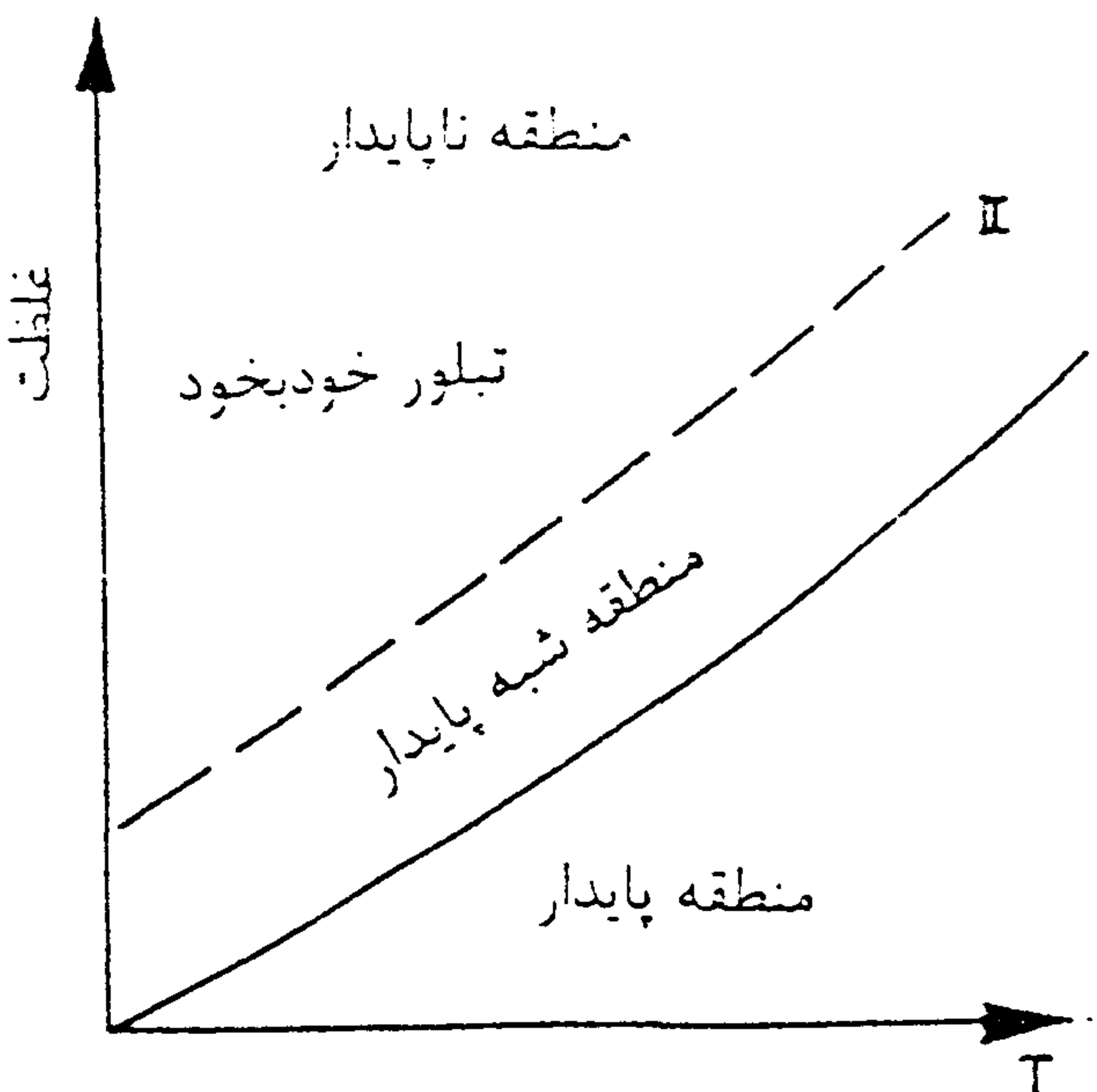
فرآیند تخلیص پنتاکریتیتول

پنتاکریتیتول تجاری به دو صورت خالص با درجه خلوص $\geq 98\%$ و بالاتر (آلدریچ^۱) و ناخالص با درجه خلوص $\geq 94\%$ (اوئند^۲) عرضه می‌شود [۹].

نظر به اینکه اکثر کاربردهای پنتاکریتیتول، خلوص بالایی را ایجاد می‌کند (خلوص حداقل $94-95\%$ در صنایع رنگ و رزین و 99% در صنایع نظامی) تخلیص این ماده از اهمیت ویژه‌ای برخوردار است. در این رابطه ابتدا باید ماهیت ناخالصیهای محتمل شناسایی گردد. این ناخالصیها به سه گروه اصلی تقسیم می‌شوند [۱، ۹ - ۱۳].

- واکنشگرهای تبدیل نشده و یا اضافی نظیر: فرمالدئید
- ناخالصیهای ناشی از واکنشهای اصلی و جانبی نظیر:

در شکل (۲) نمودار مایرز^{۲۲} اثر دما بر حلالت نشان می‌دهد. منحنی I نشانگر حالت اشباع و منحنی II معرف فوق اشباع است که منطقه مربوطه را به دو ناحیه شبه پایدار^{۲۳} و ناپایدار^{۲۴} تقسیم کرده است.



شکل ۲ : نمودار مایرز- اثر دما بر حلالت

در ناحیه شبه پایدار میزان فوق اشباع اجازه هسته زایی اولیه را نمی‌دهد و خروج ملکولهای ماده فوق اشباع تنها به صورت رشد (رسوب بر روی بلورهای موجود در محیط) یا با مکانیسم هسته زایی ثانویه امکان پذیر است در صورتی که در ناحیه ناپایدار امکان هسته زایی اولیه وجود دارد.

فرمولهای مختلفی برای نشان دادن ارتباط بین نسبت فوق اشباع و اندازه هسته ارائه شده اند که در اینجا فرمول اسوالد - فرونالیچ ارائه می‌شود [۲۴] :

$$\ln \frac{C}{C^*} = \frac{2M\sigma}{RT\rho r} \quad (7)$$

C : غلظت محلول فوق اشباع

C* : غلظت محلول اشباع در حالت تعادل

ρ : چگالی جامد

M : جرم ملکولی جامد

r : شعاع هسته

σ : کشش سطحی محلول فوق اشباع

R : ثابت گازهای کامل

T : دمای مطلق

تبلور^{۱۸} نقش اساسی داشته، بر حسب مورد می‌توانست با روش‌های دیگری چون هیدرولیز [۱۹]، جذب توسط کربن فعال یا الکهای ملکولی [۲۰]، استفاده از گاز ازن [۳] همراه شود تا کارآیی تخلیص افزایش یابد. با توجه به اهمیت تبلور در فرآیند تولید و تخلیص پنتالریتول، توضیح مختصری در مورد این پدیده ارائه می‌شود.

تبلور

تبلور یکی از متداولترین روش‌های خالص سازی مواد جامد است. رسوب مواد جامد بلوری از فاز مایع تنها زمانی اتفاق می‌افتد که سیستم در حالت فوق اشباع^{۱۹} باشد [۲۲ - ۲۴].

هنگامی که غلظت جسمی در یک محلول از میزان حلالت آن (در دمای سیستم) تجاوز نماید، به آن محلول فوق اشباع گفته می‌شود. در صورتیکه غلظت جسم را با C و حلالت آن را با C* نشان دهیم، فوق اشباع (ΔC) و نسبت فوق اشباع (S) با روابط زیر تعریف می‌شوند :

$$\Delta C = C - C^* \quad (5)$$

$$S = \frac{C}{C^*} \quad (6)$$

هر سیستم تبلور سه مرحله را طی می‌نماید که عبارتند از:
- حصول فوق اشباع: فوق اشباع در یک سیستم ممکن است بوسیله سرد کردن، تبخیر، افزودن جسم راسب و ... حاصل شود.

- هسته زایی^{۲۰} : عبارتست از بهم پیوستن ملکولهای فاز محلول تحت تأثیر جاذبه بین ملکولی. در صورتیکه این پدیده در حضور بلورهایی از جنس هسته رخ دهد، هسته زایی نوع ثانویه می‌باشد، در غیر اینصورت هسته زایی از نوع اولیه است.

- رشد بلورها^{۲۱} : رسوب ملکولهای ماده فوق اشباع بر روی بلورهایی از آن ماده که در محیط وجود دارند، منجر به بزرگ شدن آنها یا پدیده رشد می‌گردد.

خروج جسم جامد از محلول فوق اشباع طی یکی از دو مکانیسم هسته زایی و رشد صورت می‌گیرد.

$$G = K_d A (C_i - C^*)$$

A : سطح بلور

C_i : غلظت در سطح فاصل

K_d و K_r به ترتیب ضریب انتقال جرم و ثابت سرعت واکنش سطحی بطور کلی می‌توان نوشت :

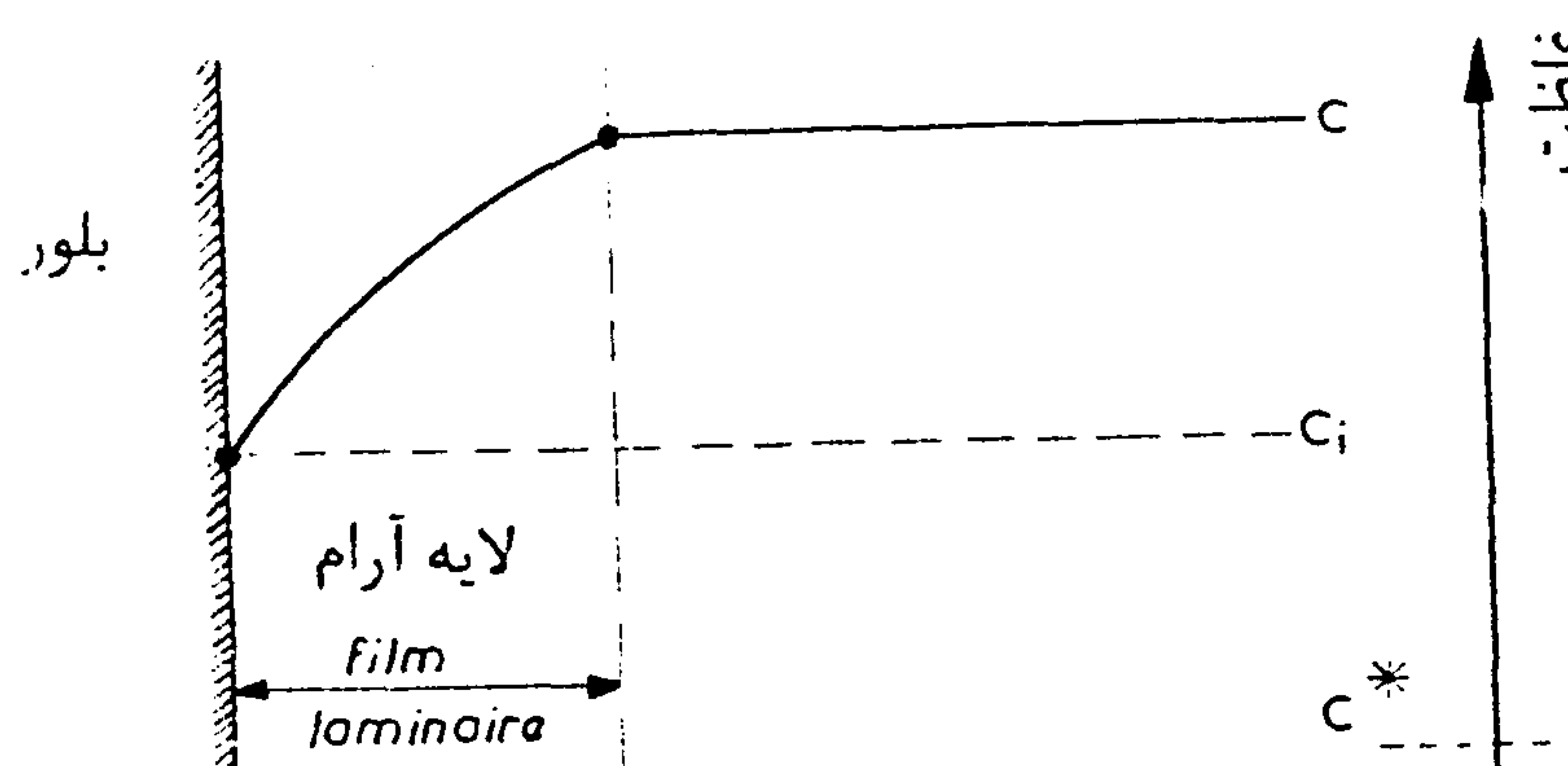
$$G = K \Delta (C - C^*)$$

(11)

$$\frac{1}{K} = \frac{1}{K_d} + \frac{1}{K_r}$$

(12)

رابطه (11) مشابه رابطه تجربی سرعت رشد (G = K_g ΔC^g) در حالت g=1 می‌باشد.



شکل ۳: وضعیت نفوذی در پدیده رشد بلورها.

در فرآیندهای صنعتی تبلور، از هسته زایی اجتناب می‌شود زیرا هدف تولید محصول درشت‌تر است. هسته زایی نه تنها بلورهای ریزی ایجاد می‌کند بلکه با مصرف محلول فوق اشباع، از شدت رشد بلورها نیز می‌کاهد. بنابراین در بسیاری از فرآیندهای تبلور سعی می‌شود که غلظت محلول در ناحیه شبه پایدار باقی بماند. همچنین در شروع تبلور مقداری از دانه‌های جسم را بعنوان هسته تبلور به محیط اضافه می‌کنند. بهمزدن مایع پدیده نفوذ را مساعد کرده، سرعت رشد را افزایش می‌دهد ولی بهمزدن شدید باعث بهم خوردن شکل و اندازه بلورها می‌شود.

انرژی لازم برای تشکیل هسته‌های پایدار نیز بصورت زیر ارائه شده است [۲۴] :

$$E = 4\pi r^2 \sigma - \frac{4}{3} \pi r^3 \Delta P \quad (8)$$

که ΔP اختلاف فشار بین محلول و داخل هسته است.

با تلفیق فرمولهای (1) و (2)، رابطه چنین خواهد شد:

$$E = \frac{16\pi}{3} \cdot \frac{\sigma^3 M^2}{[RT \rho \ln(C/C^*)]^2} \quad (9)$$

هرچه فوق اشباع بیشتر باشد، انرژی لازم کمتر می‌شود و بالعکس. در حالت اشباع انرژی لازم بینهایت می‌شود. سرعت تشکیل هسته‌ها نیز طبق رابطه زیر ارائه شده است:

$$N = k e^{-E/RT} \quad (10)$$

که N : تعداد هسته‌های پایدار تشکیل شده در واحد زمان و در واحد حجم محلول

و k : ثابت سرعت می‌باشد.

بنابراین تشکیل هسته‌ها نیاز به محلول فوق اشباع دارد. مقداری انرژی نیز برای آغاز این مرحله لازم است.

برای شروع تبلور باید به محلول فوق اشباع هسته‌هایی از همان جنس ماده افزود یا اینکه ایجاد هسته را بوسیله همزدن مایع، ضربه مکانیکی یا اثر حوزه‌های مغناطیسی، الکتریکی، اولتراسون تسهیل نمود. حضور ناخالصیها نیز اثر زیادی بر تشکیل هسته‌ها دارد.

هنگامی که هسته‌های پایدار تشکیل شدند، شروع به رشد می‌کنند تا بلورهای قابل رویت ایجاد شوند. در این روند، مراحل زیر مطابق شکل (۳) دخالت دارند.

- نفوذ و انتقال ماده از داخل مایع تا مجاورت سطح بلور
- جذب و واکنش روی سطح بلور

هر یک از این مراحل می‌تواند تعیین کننده سرعت رشد بلور (G)، مطابق روابط زیر باشد:

در مورد نفوذ :

$$G = K_d A (C - C_i)$$

در مورد واکنش سطحی :

برای واکنش، مخلوط حاصل توسط اسیدفرمیک به pH بین ۵ تا ۷ رسانده شد. سپس با استفاده از تقطیر، فرمالدئید اضافی از سیستم خارج شد و محلول مادر تا یک سوم حجم اولیه تغليظ گردید و به دمای ۵°C رسانده شد تا بلورهای پنتاچاریتريتول تشکيل شوند. سپس اين بلورها توسط صافی جدا گشته و پس از چندبار شستشو با آب سرد، در اتو خشک شدند.

با استفاده از دستگاه FT-IR طيف مادون قرمز محصول توليدی برطبق شكل (۵ - ب) گرفته شدو با طيف استاندارد پنتاچاریتريتول موجود در مراجع ، شكل (۵ - الف)، مورد مقاييسه قرار گرفت.

همچنين آناليز محصول با استفاده از روش دي بنزال (Dibenzal-ASTM D2195) انجام شد.

در اين روش نمونه توزين شده در آب حل شده و محلول بنزالدئيد و مтанول به آن اضافه مى شود. پس از افزايش اسيد كلریدريک، مخلوط تا صفر درجه سانتي گراد سرد مى شود. رسوب پنتاچاریتريتول دي بنزال صاف و خشک شده و سپس توزين مى شود [۳]. درصد منوپنتاچاریتريتول (E) به روش زير محاسبه مى شود:

$$E = [(P + 0.0269) \times 43.59] / S \quad (13)$$

S : وزن نمونه مورد استفاده

P : وزن رسوب

۰۰۲۶۹ : ضريب تصحيح مربوط به حلاليت

وزن ملکولي پنتاچاریتريتول : ۴۳/۵۹

وزن ملکولي پنتاچاریتريتول دي بنزال

بررسی اثر پارامترهای عملیاتی بر بازده تولید پنتاچاریتريتول

با توجه به اينکه در مراجع اطلاعات چندانی در مورد اثر پارامترهای عملیاتی بر بازده تولید پنتاچاریتريتول عرضه نشده بود، در اين تحقیق اين بررسی انجام شد و اثر تغييرات دما، زمان، نسبت مولی واکنشگرها و کاتالیزور بر بازده پنتاچاریتريتول مشخص شد که نتایج آن در بخش بعدی ارائه شده اند.

سرعت سرد کردن نيز نقش مهمی در تشکيل و رشد بلورها دارد. يك سرمایش بسيار كند موجب تشکيل بلورهای درشت با ساختار مناسب می شود.

ناخالصيهای عليرغم اثر مثبت بر تشکيل هستهها، در مورد رشد بلورها مضر بوده، مانع رشد عادي آنها می شوند.

بررسیهای تجربی

تولید آزمایشگاهی پنتاچاریتريتول

در اين قسمت پس از معرفی تجهیزات بكاررفته و مواد شیمیایی، روش تولید شرح داده می شود.

تجهیزات آزمایشگاهی

به منظور تولید پنتاچاریتريتول، دستگاهی مطابق شكل (۴) متشكل از قسمتهای زير طراحی شد. راکتور شیشه اي يك لیتری دوجداره مجهز به همزن، مخازن تزریق واکنشگرها به راکتور، مخازن آب گرم و سرد و کندانسور.

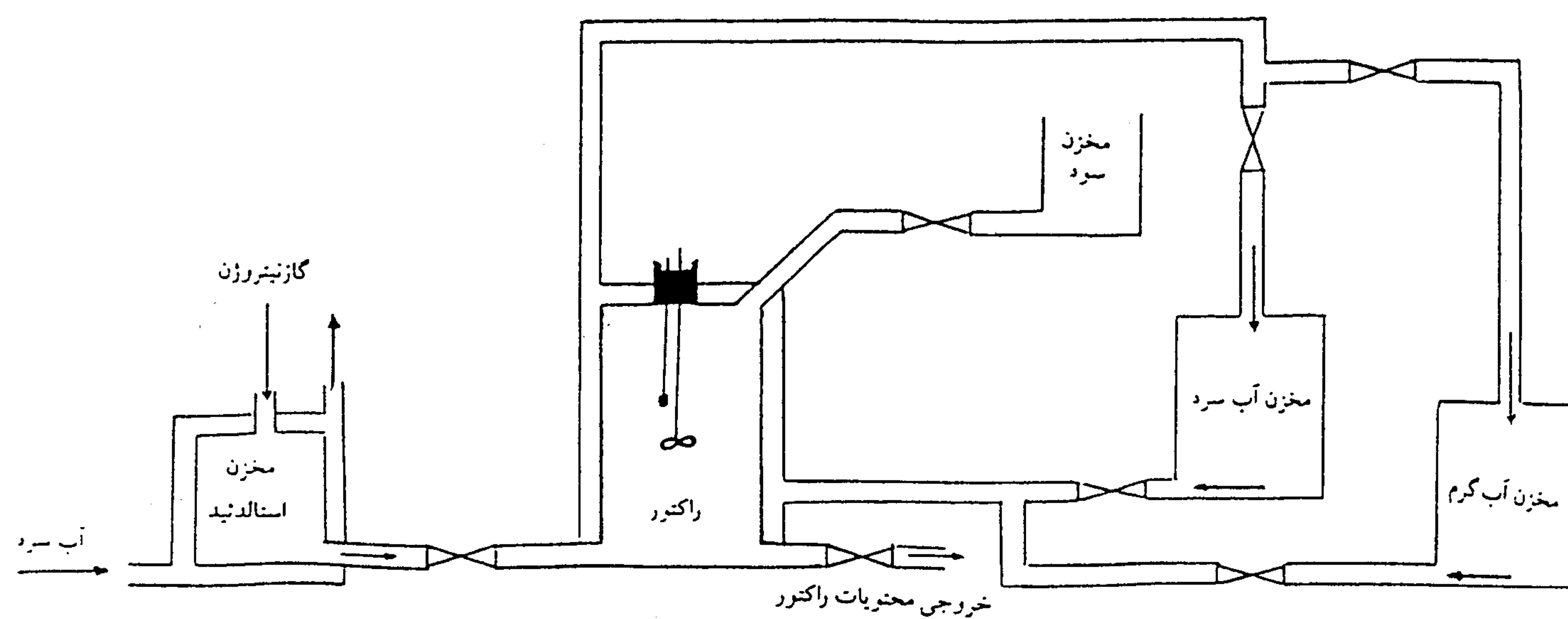
ساير تجهیزاتی که مورد استفاده قرار گرفتند عبارت بودند از : کریستالیزر شیشه اي، پمپ خلاء، فیلتر، کپسول نیتروژن، اتو با کنترل اتوماتیک دما، ترازو با دقت 10^{-4} گرم و ترمومترها.

مواد شیمیایی

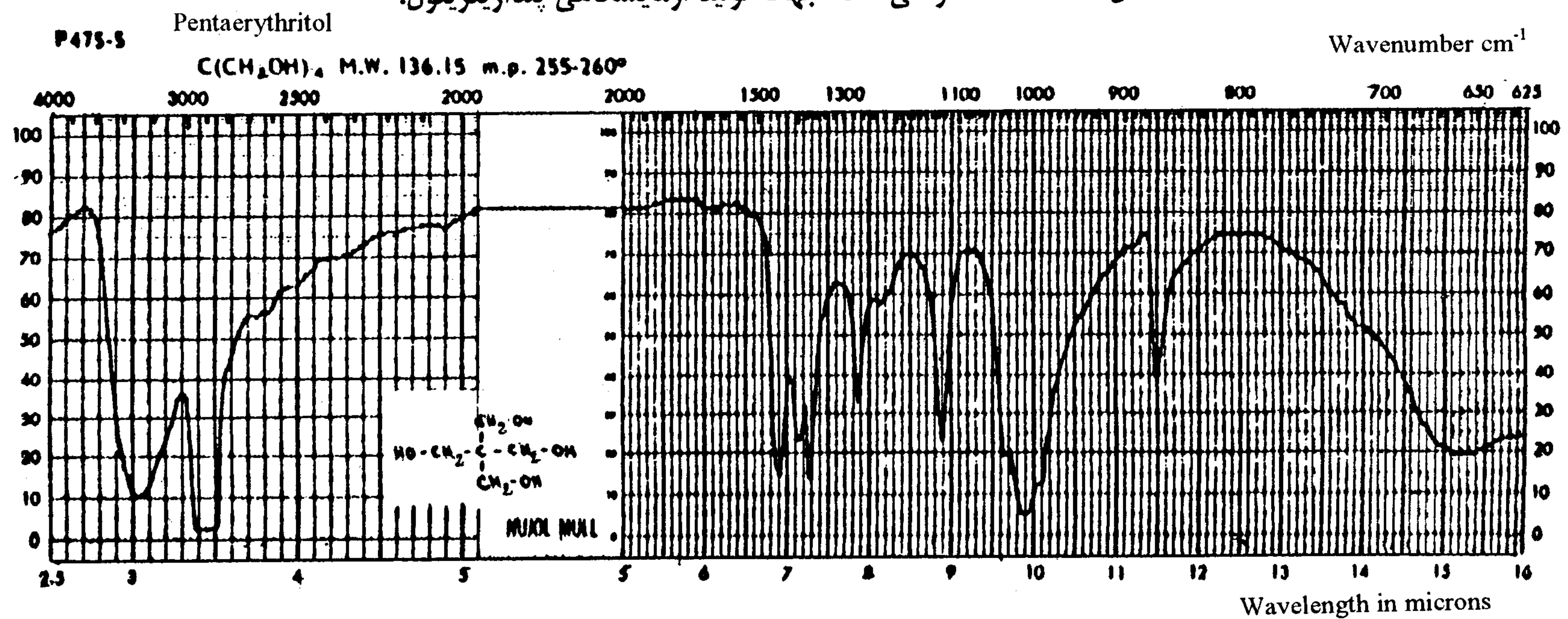
مواد شیمیایی بكار رفته عبارت بودند از فرمالدئيد ۳۷٪ وزنی، استالدئيد ۹۹٪ وزنی، هیدروکسید سدیم، اسيد فرمیک و مтанول. به علت سمی بودن برخی از اين مواد نظیر فرمالدئيد و مтанول، آزمایشها در زیر هود و با رعایت نکات ایمنی انجام شدند.

شرح روش تولید

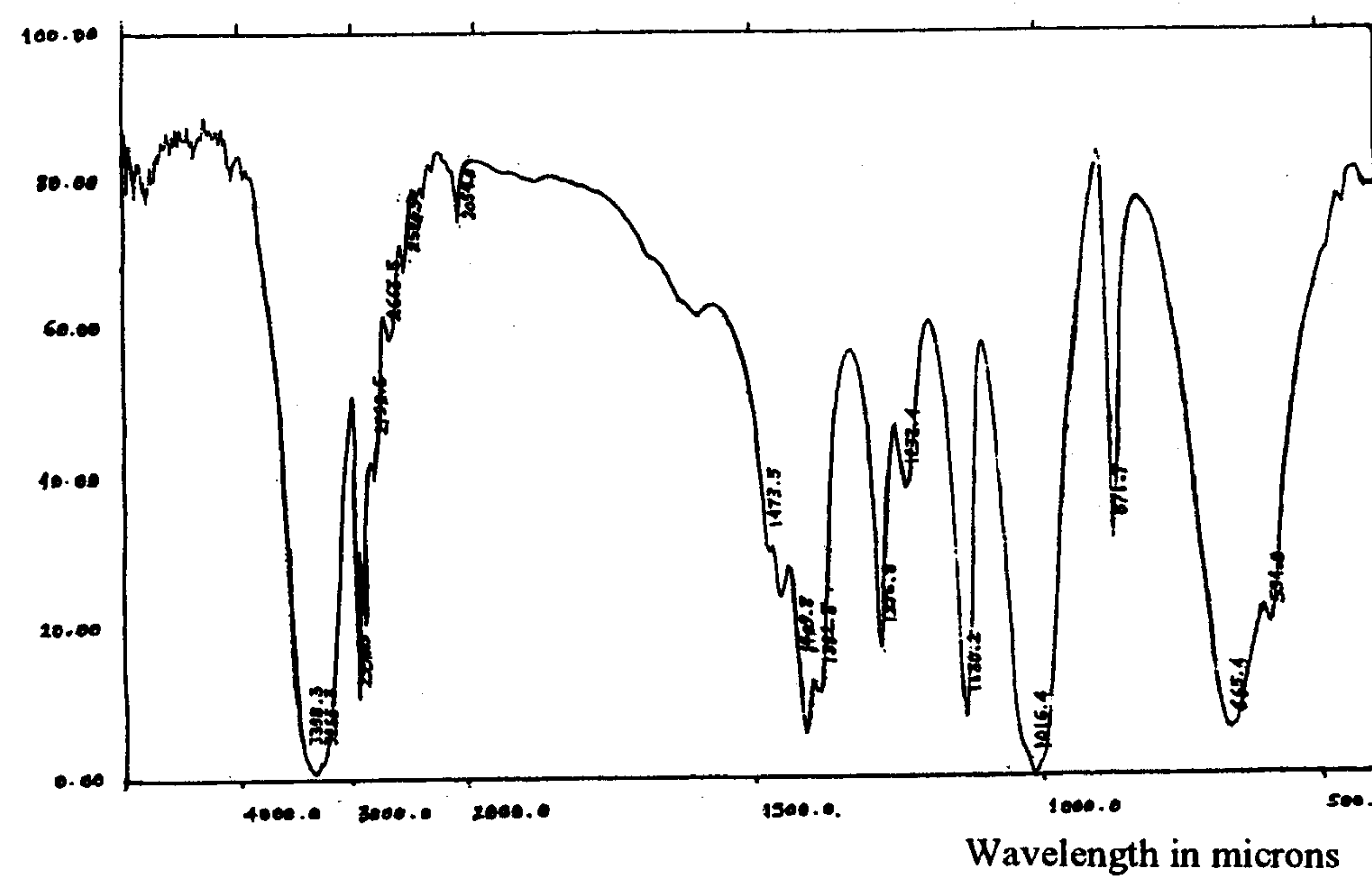
به منظور تولید پنتاچاریتريتول، ابتدا واکنشگرها و کاتالیزور (فرمالدئيد، استالدئيد و سود) در راکتور مخلوط شدند. در آغاز، آزمایشها با در نظر گرفتن استوکیومetri واکنش و اطلاعات کسب شده از مراجع [۱، ۲، ۲۵] انجام شدند. دمای راکتور در حد مورد نظر تنظیم گشت و در طول واکنش ثابت نگهداشته شد. پس از گذشت زمان لازم



شکل ۴ : دستگاه طراحی شده جهت تولید آزمایشگاهی پنتا اریتریتول.



الف - پنتا اریتریتول خالص (نوع Aldrich)



ب - نمونه پنتا اریتریتول تولیدی

شکل ۵ : طیف IR پنتا اریتریتول .

- جداسازی ناخالصیها براساس اختلاف حلالت
نتایج این عملیات در مبحث بعدی ارائه شده اند.

نتایج و بحث

همانگونه که قبلاً ذکر شد، اثر پارامترهای عملیاتی بر بازده تولید پنتا اریتریتول مورد بررسی قرار گرفت و نهایتاً شرایط بهینه تولید و همچنین تخلیص تعیین شدند که در دنباله ارائه می‌شوند.

بررسی اثر دما بر بازده

واکنش تشکیل پنتا اریتریتول در دماهای مختلف انجام شد که نتایج آن به صورت منحنی بازده تولید بر حسب دما در شکل (۶) ارائه شده اند. در این آزمایشها زمان یک ساعت و نسبت مولی مواد به صورت زیر در نظر گرفته شد.

$1 : 1/2 : 5 =$ استالدئید : سود : فرمالدئید
همانگونه که از نمودار مشهود است، افزایش دما تا 38°C موجب افزایش بازده پنتا اریتریتول می‌شود ولی بالاتر از آن افزایش دما تاثیر منفی بر بازده دارد که علت آن می‌تواند افزایش سرعت واکنشهای جانبی در دماهای بالاتر باشد. در هنگام آزمایش نیز تشکیل مواد نامطلوب در دماهای بالاتر محسوس بود (زرد شدن محلول داخل راکتور در نتیجه تشکیل ماده شکری ناشی از افزایش ملکولهای فرمالدئید). همچنین واکنش بین دو ملکول فرمالدئید و سود که منجر به تولید فرمیات سدیم و متانول می‌شود، در دماهای بالاتر از 40°C تسریع می‌شود.

بررسی اثر زمان بر بازده

اثر تغییرات زمان در محدوده $(30-120)$ دقیقه بر بازده پنتا اریتریتول در دماهای مختلف مورد بررسی قرار گرفت. شکلهای (۷ و ۸) معرف اثر تغییرات زمان بر بازده در دمای 38°C (دمای بهینه) و نیز محدوده دمایی $33-53^{\circ}\text{C}$ می‌باشند. در این آزمایشها نسبت مولی مواد $1 : 1/2 : 5 =$ استالدئید : سود : فرمالدئید بوده است.

همانگونه که از این نمودارها مشاهده می‌شود، در دماهای کمتر از 38°C افزایش زمان تا 60 دقیقه موجب افزایش

تخلیص پنتا اریتریتول

همانگونه که قبلاً ذکر شد ناخالصیهای عمده موجود در پنتا اریتریتول عبارتند از : فرمالدئید، فرمیات سدیم، دی، تری و پلی پنتا اریتریتول، بیس پنتا اریتریتول منوفرمال و ماده شکری.

جهت تخلیص پنتا اریتریتول، باید این ناخالصیها تا حد امکان کاهش داده شوند. بدین منظور پس از انجام واکنش و خنثی سازی، با استفاده از تقطیر، فرمالدئید از سیستم خارج می‌شود. در اولین مرحله تبلور نیز فرمیات سدیم در محلول مادر باقی می‌ماند در حالیکه بلورهای پنتا اریتریتول با استفاده از صافی جدا می‌شوند. در این مرحله درجه خلوص پنتا اریتریتول $86-90$ درصد می‌باشد که با یک بار انحلال محصول در آب و تبلور مجدد آن، درجه خلوص تا $96-97$ درصد افزایش می‌یابد [۳]. این درجه خلوص برای برخی کاربردهای صنعتی مناسب می‌باشد. از این مرحله به بعد، تخلیص پنتا اریتریتول دشوارتر می‌گردد. در مراجع روش‌های مختلفی برای افزایش درجه خلوص پنتا اریتریتول ارائه شده اند که اهم آنها عبارتند از :

- تخلیص با استفاده از حلالهایی نظیر سیکلوهگزانون و ترت بوتانول [۱]

- هیدرولیز همرا با رفلaks اسید کلریدریک که طی آن ناخالصی فرمال به پنتا اریتریتول و فرمالدئید تبدیل می‌شود [۱۹]

- جذب توسط کربن فعال که توسط "کوزنتسوا" مطرح شده است [۲۰]

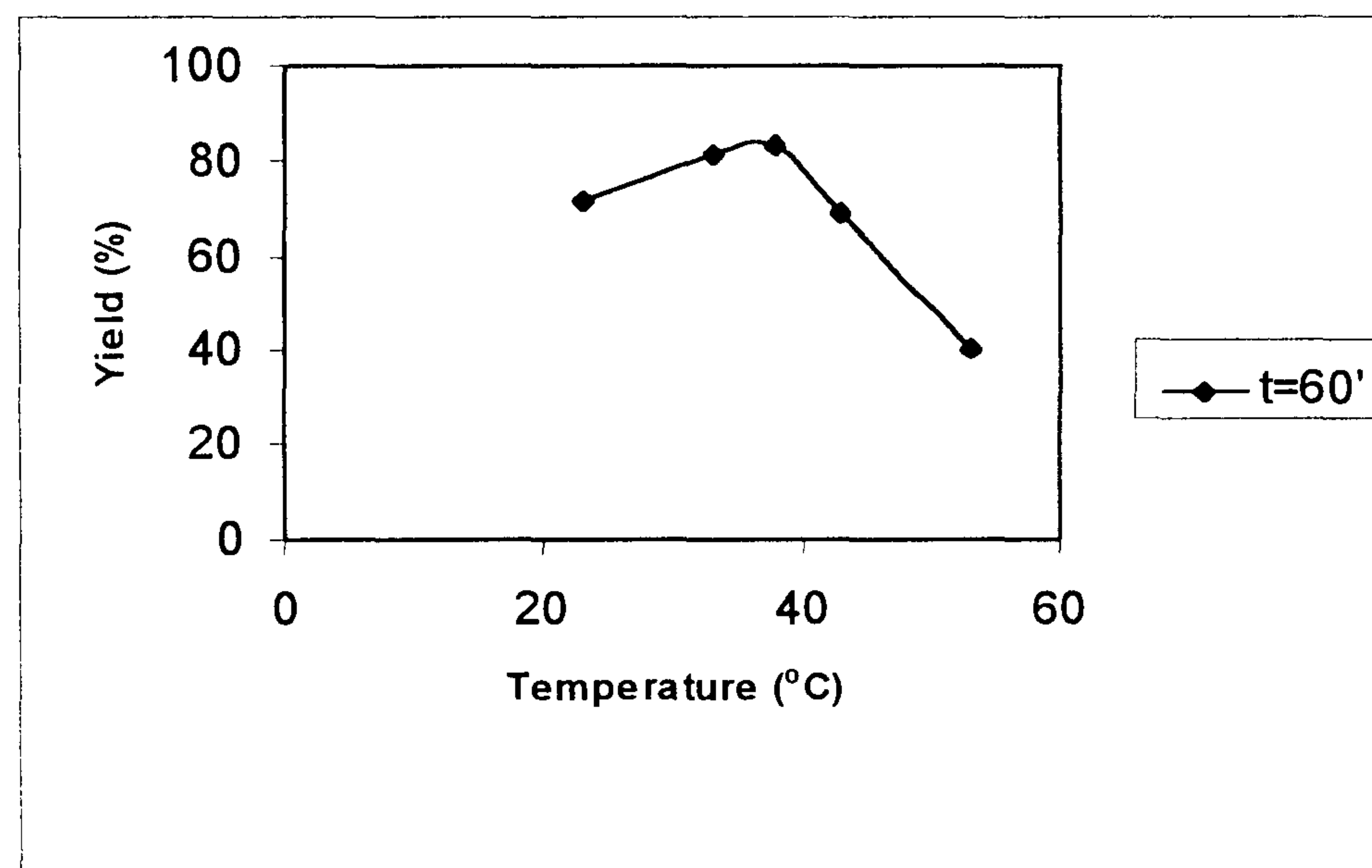
- حرارت دادن پنتا اریتریتول در محدوده دمایی 160°C تا 200°C جهت جداسازی بیس پنتا اریتریتول منوفرمال [۱۶].

در این تحقیق نیز با توجه به اطلاعات کسب شده از مراجع مختلف و نتایجی که طی آزمایشها متعدد بدست آمد، پنتا اریتریتول تولیدی با استفاده از روش‌های زیر مورد تخلیص قرار گرفت :

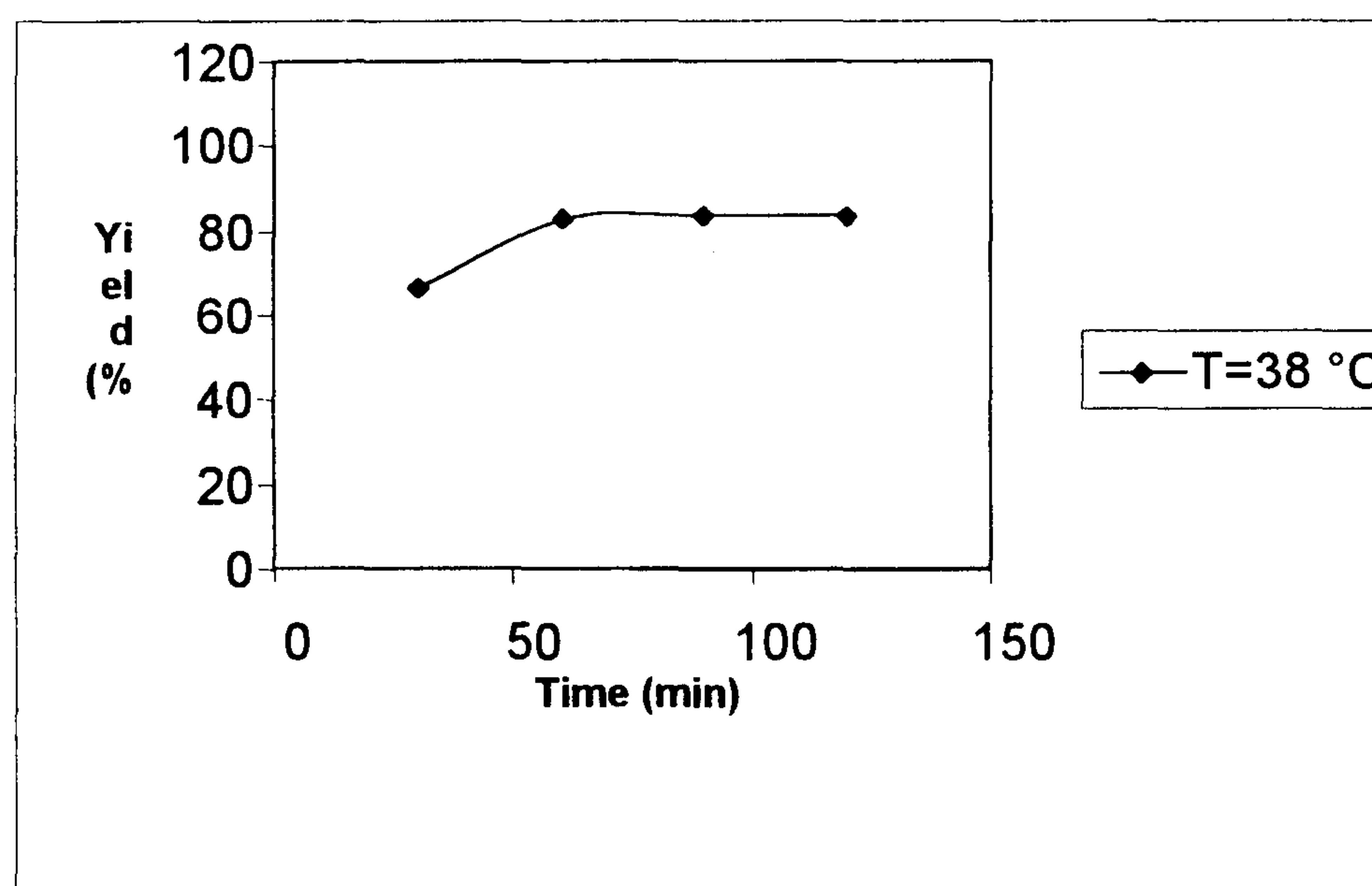
- تبلور مجدد

- هیدرولیز همرا با رفلaks اسید کلریدریک

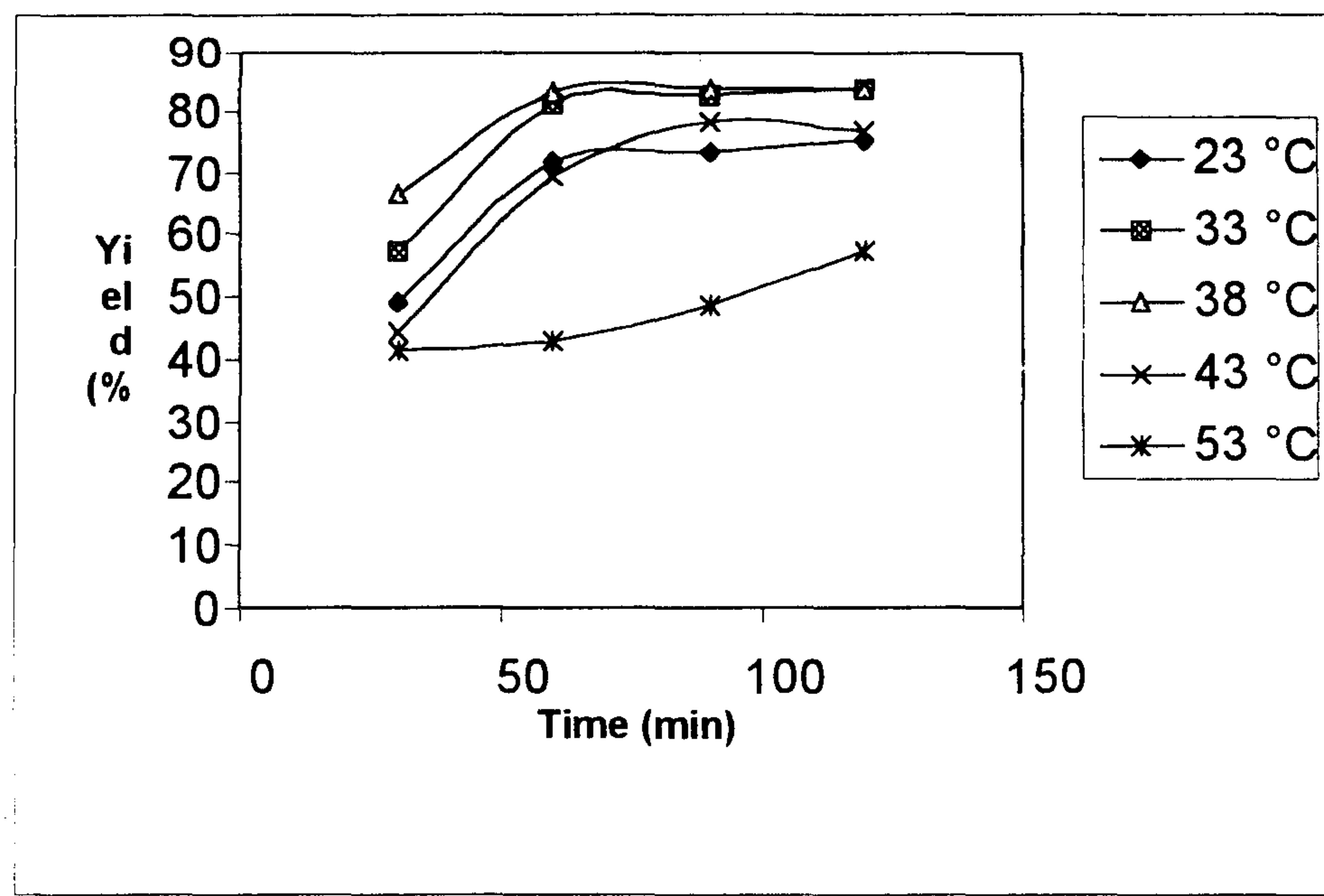
- جذب توسط کربن فعال



شکل ۶: اثر تغییرات دما بر بازده پنتا اریتریتول.



شکل ۷: اثر تغییرات زمان بر بازده پنتا اریتریتول.



شکل ۸: اثر تغییرات زمان (در دمای متفاوت) بر بازده پنتا اریتریتول.

می‌شوند) در غلظتهای بالای کاتالیزور، باشد. بدین ترتیب نسبت بهینه کاتالیزور به استالدئید $1/2$ می‌باشد.

اثر نسبت مولی فرمالدئید بر بازده

از نظر استوکیومتری به ازاء هر مول استالدئید، چهار مول فرمالدئید لازم است ولی با توجه به اینکه در نسبتهای پایین استالدئید / فرمالدئید، واکنشهای جانبی از جمله تشکیل دی پنتاگونیتول تسریع می‌شود (در هنگام آزمایش، تشکیل دی پنتاگونیتول با کدر شدن شدید محلول قابل مشاهده بود) لذا برای افزایش بازده پنتاگونیتول، باید از نسبتهای بالاتر از $1 : 4$ استفاده شود.

نتایج این بررسی در شکل (۱۰) ارائه شده اند که در آن نسبت $1 : 5/4$ نسبت مناسبی بنظر می‌رسد. بالاتر از این نسبت، امکان تسریع واکنش جانبی دیگری (افزایش ملکولهای فرمالدئید) بوجود می‌آید.

نتایج تخلیص پنتا اریتریتول با روش‌های مختلف تبلور مجدد

در این روش نمونه در حلال حل شد و پس از تغليط، در دمای 30°C تحت عملیات تبلور قرار گرفت. نتایج نشان داد که در این شرایط می‌توان حداکثر به درجه خلوص 97 درصد دست یافت.

بر طبق اطلاعات یکی از مراجع [۱۳]، با انجام تبلور در دمای بالا (90°C) که منجر به جدا شدن فرمالها می‌گردد، می‌توان درجه خلوص را افزایش بیشتری داد که بر این اساس تبلور در 70°C انجام شد (بعثت محدودیتهای تجهیزاتی، عملیات در 90°C میسر نشد). در این شرایط درجه خلوص پنتا اریتریتول به 98 درصد رسید.

به نظر می‌رسد که با افزایش بیشتر دمای تبلور، بتوان به درصد خلوص بالاتری دست یافت.

هیدرولیز

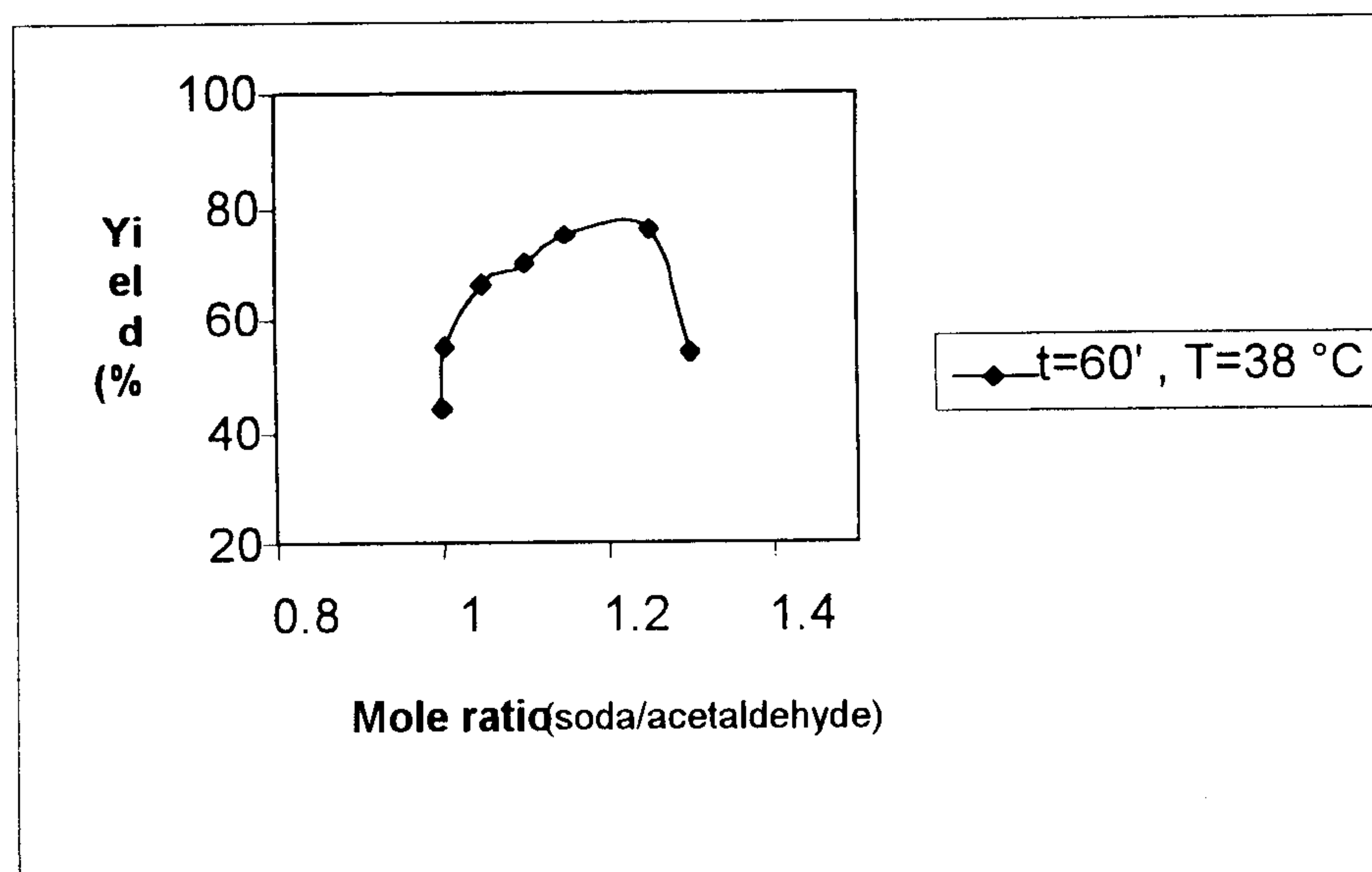
در اثر هیدرولیز بیس پنتاگونیتول منوفرمال

قابل ملاحظه بازده می‌شود ولی زمان بیش از 60 دقیقه تاثیر چندانی بر بازده ندارد. بدین ترتیب زمان 60 دقیقه برای انجام واکنش با بازده مناسب کافی بنظر می‌رسد. در دماهای بالاتر از 38°C که بازده پنتاگونیتول پایین‌تر است، افزایش زمان (تا حدود 120 دقیقه که مورد آزمایش قرار گرفت) همواره موجب افزایش بازده می‌شود که علت آن می‌تواند مربوط به تغییر و تحول فرآورده‌های نامطلوب و نیز مواد تبدیل نشده‌ای باشد که فرصت بیشتری برای تبدیل (به پنتاگونیتول) بدست آورده‌اند.

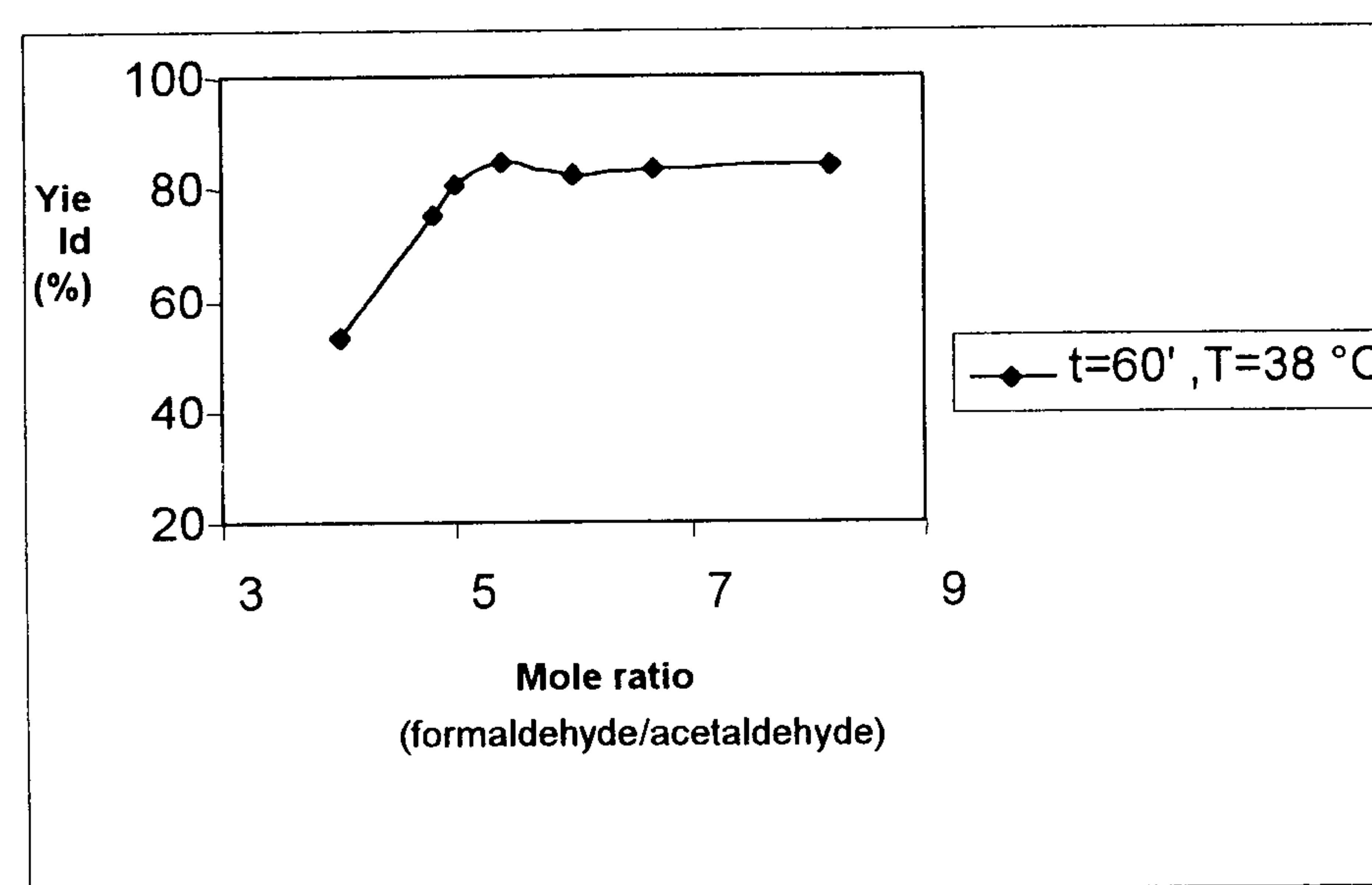
بررسی اثر نوع و نسبت مولی کاتالیزور بر بازده

در واکنش تولید پنتاگونیتول، کاتالیزور متداول هیدروکسید سدیم می‌باشد ولی با توجه به اینکه برخی مراجع [۱، ۳] هیدروکسید کلسیم را نیز مطرح نموده اند، آزمایش با هر دو نوع کاتالیزور تحت شرایط عملیاتی یکسان (دماهای 33°C و زمان 60 دقیقه) انجام شد. در مورد کاتالیزور هیدروکسید کلسیم، بازده پنتاگونیتول $44/1$ درصد بدست آمد در حالیکه با کاتالیزور هیدروکسید سدیم این بازده به 80 درصد رسید که بدین ترتیب استفاده از هیدروکسید کلسیم منتفی می‌شود مضافاً اینکه کاربرد هیدروکسید کلسیم نیاز به تجهیزات بیشتر و یک مرحله صاف کردن اضافی نیز دارد. در ادامه، با استفاده از کاتالیزور هیدروکسید سدیم، اثر تغییرات نسبت مولی (استالدئید / کاتالیزور) بر بازده پنتاگونیتول مورد بررسی قرار گرفت که نتایج آن در شکل (۹) ارائه شده اند.

زمان واکنش یک ساعت و دما 38°C بوده است. همانگونه که از نمودار مشاهده می‌شود، با افزایش نسبت مولی کاتالیزور تا $1/2$ ، بازده افزایش می‌یابد که قابل انتظار است زیرا تماس بین واکنشگرها و کاتالیزور افزایش می‌یابد ولی بالاتر از نسبت $1/2$ بازده کاهش می‌یابد. علت آن می‌تواند افزایش سرعت واکنشهای جانبی (بویژه واکنشهای بین ملکولهای فرمالدئید و نیز بین ملکولهای استالدئید) که موجب تغییر رنگ محتويات راکتور نیز



شکل ۹ : اثر تغییرات نسبت مولی کاتالیزور بر بازده پنتاکربونیک اسید.



شکل ۱۰ : اثر تغییرات نسبت مولی فرمالدئید بر بازده پنتاکربونیک اسید.

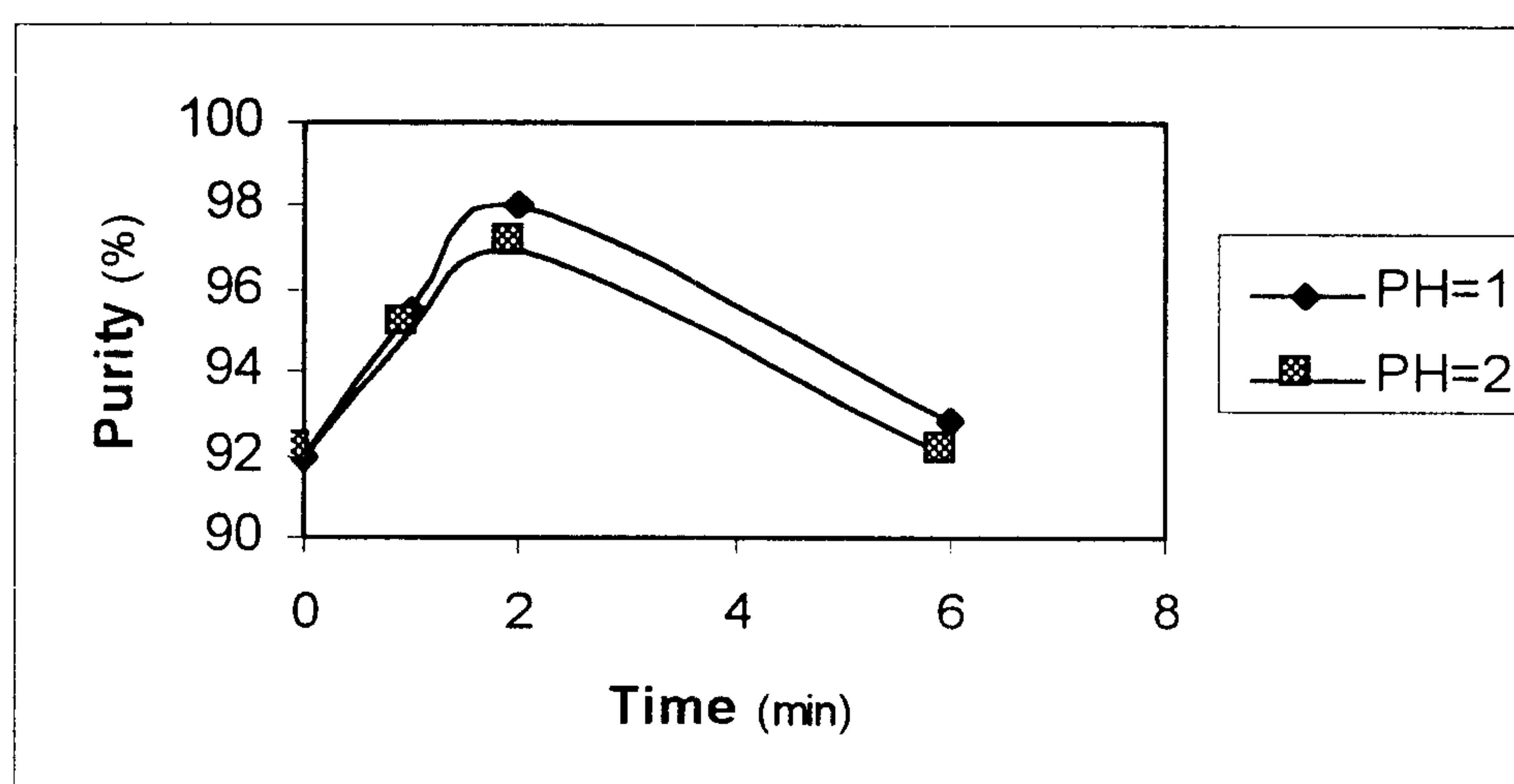
pH به ۱ برسد. سپس محلول به مدت دو ساعت تحت حرارت دهی (۱۰۰°C) و رفلaks قرار گرفت. در انتهای مشخص شد که درجه خلوص از ۹۷ به ۹۸/۱۱ افزایش یافته است.

تخلیص با کربن فعال

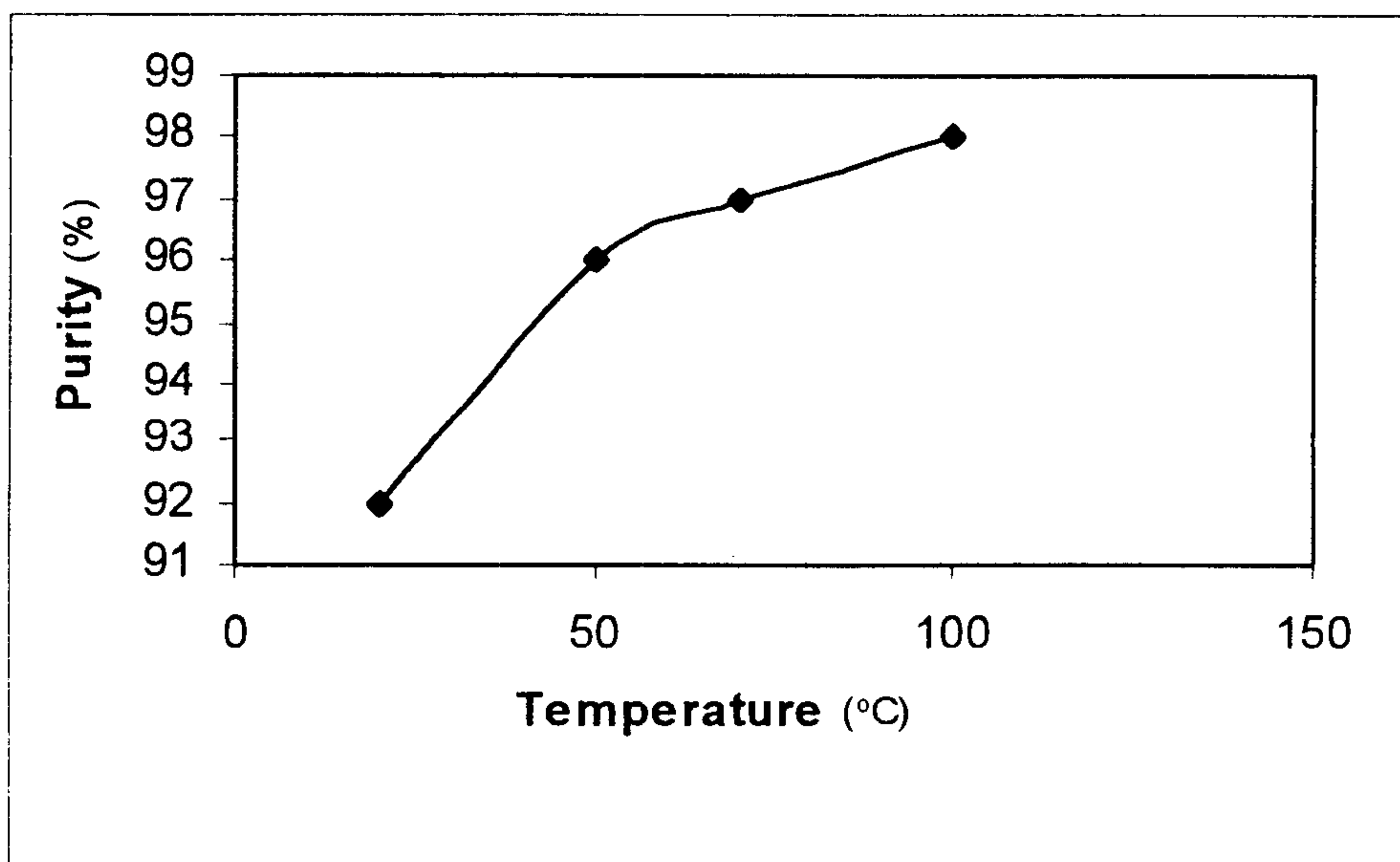
استفاده از کربن فعال در ارتباط با خاصیت جذب انتخابی ناخالصیهای همراه پنتاکربونیک اسید. جهت انجام آزمایش، پس از انحلال نمونه در حلول، کربن فعال به آن اضافه شد. ضمن بهم زدن، مخلوط تا دمای ۸۰-۹۰°C حرارت داده شد. سپس مخلوط صاف شد و مورد عملیات تغليظ و تبلور قرار گرفت. درجه خلوص از

(ناخالصی همراه پنتاکربونیک اسید و پنتاکربونیک اسید) افزایش می‌یابد. حضور مقدار زیاد آب در محلول واکنشی و خارج نمودن فرمالدئید از سیستم می‌تواند واکنش را در جهت هیدرولیز پیش ببرد. تعدادی آزمایش جهت تعیین شرایط عملیاتی بهینه انجام شد [۹] که نتایج آن در شکلهای (۱۱ و ۱۲) ارائه شده اند. نمودارها نشان می‌دهند که تحت شرایط عملیاتی pH=۱، زمان دو ساعت و دمای ۱۰۰°C نتیجه مناسبی بدست می‌آید.

بر این اساس در آزمایش انجام شده، پس از انحلال نمونه در حلول، به محلول حاصل اسید کلریدریک اضافه شد تا



شکل ۱۱ : اثر زمان هیدرولیز و pH بر درصد خلوص پنتاکریتیتول.



شکل ۱۲ : اثر دمای هیدرولیز بر درصد خلوص پنتاکریتیتول.

سپس محلول بدست آمده تغییظ شد و عمل تبلور در دمای ۵۰°C صورت گرفت. در این عملیات، درجه خلوص محصول نهایی از ۹۷ به ۹۹/۴ افزایش یافت که در مقایسه با سایر روشها نتیجه بهتری بوده است همانگونه که از جدول (۳) مشخص می شود.

بررسی رشد بلورهای پنتاکریتیتول
با توجه به اینکه معمولاً هدف فرآیندهای تبلور، تولید محصول درشت تر می باشد، مبحث رشد بلورها مورد بررسی زیادی قرار گرفته است [۲۷، ۲۱، ۱۰]. در این رابطه عوامل موثر بر رشد بلورهای پنتاکریتیتول مورد مطالعه قرار گرفت.

۹۷ به ۹۷/۵ درصد افزایش یافت که چندان قابل توجه نبود.

جداسازی ناخالصیها با استفاده از اختلاف حلایت ناخالصیهای عمده پنتاکریتیتول قبل معرفی شده اند. بر اساس اطلاعات مرجع [۲۶] و جدول (۲)، حلایت پنتاکریتیتول در ۱۰۰ گرم آب ۲۰°C برابر ۷/۱ گرم است در صورتی که حلایت دی پنتاکریتیتول برابر ۰/۶۷ گرم و بیس پنتاکریتیتول منوفرمال ۵/۰ گرم است. تری پنتاکریتیتول نیز در آب نامحلولند. بر این اساس نمونه اولیه در آب ۲۰°C حل و سپس صاف شد. ناخالصیها به صورت رسوب روی سطح صافی باقی ماندند.

جدول ۲ : حلایق پنتا اریتریتول و ناخالصیهای همراه آن در دماهای مختلف [۲۶].

فرمیات سدیم	حلایق بر حسب (۱۰۰ کیلوگرم آب / کیلوگرم)			دما (°C)
	بیس پنتا اریتریتول منوفرمال	دی پنتا اریتریتول	پنتا اریتریتول	
۵۱	۰/۴	۰/۶۱	۶/۸	۱۰
۹۴	۰/۵	۰/۶۷	۷/۱	۲۰
۱۰۴	۰/۶	۰/۸۵	۹/۲	۳۰
۱۰۸	۰/۸	۱/۱۲	۱۱/۶	۴۰
۱۱۴	۱/۱	۱/۶۲	۱۶/۷	۵۰
۱۱۹	۱/۸	۳/۰۰	۲۳/۹	۶۰
۱۲۵	۲/۷	۴/۳۰	۳۲/۱	۷۰
۱۳۴	۳/۹	۵/۶۰	۴۴/۵	۸۰
۱۴۲	۵/۴	۷/۸۰	۶۴/۵	۹۰
۱۵۴	۶/۶	۱۰/۵۰	۸۵/۳	۱۰۰

جدول ۳ : نتایج تخلیص پنتا اریتریتول با استفاده از روش‌های مختلف.

درصد خلوص نهایی پنتا اریتریتول	روش مورد استفاده
۹۷	تبلور مجدد (در دمای ۳۰°C)
۹۸	تبلور مجدد (در دمای ۷۰°C)
۹۸/۱۱	هیدرولیز توأم با رفلaks اسید کلریدریک
۹۷/۵	جذب بوسیله کربن فعال
۹۹/۴	جداسازی ناخالصیها براساس اختلاف حلایق

$$k = A \exp\left(\frac{-\Delta E}{RT}\right) \quad (14)$$

”چینیز“ [۱۰] ضمن تأیید تاثیر منفی ناخالصیها بر سرعت رشد بلورهای پنتا اریتریتول، مشخص نمود که افزایش دما می‌تواند سرعت رشد را افزایش دهد زیرا مانع جذب ناخالصیها بر روی سطح بلورها می‌گردد.

با توجه به اینکه اندازه بلورها به مقدار ماده موجود در محلول نیز بستگی دارد، آزمایش در چهار مقدار مختلف از نمونه پنتا اریتریتول انجام شد که نتایج در جدول (۴) ارائه شده‌اند. این نتایج نشان میدهند که با افزایش کسر جرمی پنتا اریتریتول در محلول، نسبت بلورهای ریز افزایش می‌یابد و این بدان معناست که در غلظتهای بالاتر پنتا اریتریتول، سرعت هسته زایی بر سرعت رشد غلبه

مشخص شد که حضور بعضی ناخالصیها نظریه فرمالدئید (۰/۱%) و اسید فرمیک سرعت رشد بلورها را به شدت کاهش می‌دهد (مدت تبلور بیش از ۱۰ ساعت و بلورها بسیار ریز) که با اطلاعات مراجع [۱۹ و ۲۰] مطابقت دارد. بررسیهای ”راجرز“ [۱۹] و ”کلاتورتی“ [۲۰] نشان داده است که حضور دی پنتا اریتریتول و فرمال اثر قابل توجهی بر سرعت رشد بلورهای پنتا اریتریتول ندارند در حالی که فرمالدئید حتی در غلظتهای کمتر از ۱۰ ppm می‌تواند سرعت رشد را بسیار کاهش دهد (10^{-9} m/s) که با حذف این ماده سرعت افزایش می‌یابد. رابطه‌ای که این محققین برای سرعت رشد بلورهای پنتا اریتریتول ارائه داده‌اند نسبت به فوق اشباع از درجه ۲ می‌باشد:

$$G = k (C - C^*)^2 \quad (15)$$

واکنشی است که نتیجتاً ازواکنشهای جانبی مربوطه که بسیار نیز سریع می‌باشد، ممانعت می‌کند.

بدین ترتیب در جمع بندی نهایی می‌توان شرایط بهینه تولید پنتاکریتیتول را به صورت زیر ارائه نمود:

دمای واکنش: 38°C

زمان واکنش: ۶۰ دقیقه

نوع کاتالیزور: هیدروکسید سدیم

نسبت مولی واکنشگرهای کاتالیزور:

$1 : 1/2 : 5/4 = \text{استالدئید} : \text{سود} : \text{فرمالدئید}$

در زمینه تخلیص پنتاکریتیتول نیز روش‌های تبلور، هیدرولیز، جذب ناخالصیها توسط کربن فعال و جداسازی ناخالصیها بر اساس اختلاف حلایق مورد بررسی قرار گرفتند و مشخص شد که روش جداسازی بر اساس اختلاف حلایق در تلفیق با روش تبلور نتایج مناسبتری ارائه می‌دهد و قادر است درجه خلوص پنتاکریتیتول را تا 99% درصد افزایش دهد.

همچنین در طول آزمایشها مشخص شد که سرد کردن

ناگهانی محلول منجر به تشکیل بلورهای ریز می‌شود در حالیکه سرد کردن تدریجی، بلورهای درشت تولید می‌کند، همانگونه که مورد انتظار بود.

نتیجه گیری

نتایج حاصل از بررسی اثر پارامترهای عملیاتی بر بازده تولید پنتاکریتیتول مشخص نمود که:

افزایش دما تا 38°C به علت افزایش سرعت واکنش اصلی موجب بالا رفتن بازده پنتاکریتیتول می‌شود ولی بالاتر از این دما، با افزایش واکنشهای جانبی بویژه واکنشهای بین دو ملکول فرمالدئید، بازده کاهش می‌یابد.

مدت لازم جهت تکمیل واکنش اصلی یک ساعت است و زمان بیش از آن تاثیر چندانی بر بازده ندارد.

افزایش غلظت فرمالدئید اثر مثبتی بر بازده پنتاکریتیتول دارد. علت آن کاهش نسبی غلظت استالدئید در محلول

جدول ۴: اثر کسر جرمی پنتاکریتیتول در محلول بر توزیع اندازه بلورهای حاصل.

توزیع اندازه بلورها (درصد)				اندازه بلورها (میلی متر)
$w_1 = 0/13$	$w_2 = 0/17$	$w_3 = 0/20$	$w_4 = 0/23$	
۵۴/۰۵	۵۱/۰۶	۳۸/۶۸	۰	۰/۸۴
۲۷/۰۲	۲۷/۶۵	۳۴/۶۶	۸۰	۰/۵۹
۱۸/۹	۲۱/۲۸	۲۶/۶۵	۲۰	۰/۴۲

کسر جرمی پنتاکریتیتول در محلول = w_i

مراجع

- 1 - Kirk Othmer. (1978). Encyclopedia of Chem. Tech., Vol.1.
- 2 - Unido Pentaerythritol Offer, (1992). Korea Advanced Inst. of Sci. & Tech.
- 3 - Ahmadi, J. (1998). Production of pentaerythritol, M.Sc Thesis, University of Tehran.
- 4 - Uehama, H. and Hioki, K. (1976). "Process for producing Penta." , U.S. patent 3, 968, 176.
- 5 - Carazzolo, G. (1984). "Method for the recovery of penta from,..." U.S patent 4, 435, 604.
- 6 - Jan Eric Vic. (1974). "Studies on Intermediates involved in synthesis of Penta and related alcohols." *Acta chemica scandinavia*, B 28, PP. 325-332.

- 7 - Shahrokhi, M. and Farhadi, F. (1997). "Kinetic study of reaction of pentaerythritol." *Proc., 3rd Cong; of Chem. Eng. of Iran.*
- 8 - Ogata, Y. (1967). "Condensation of acetaldehyde with formaldehyde in aqueous alkalin solutions." *J. Chem. Soc.,* PP. 1013-1020.
- 9 - Hassan – Nia, H. (1999). *Study of pentaerythritol purification processes.* M.Sc. Thesis, University of Tehran.
- 10 - Chianese, A., Karel, M. and Mazzarota, B. (1995). "Nucleation kinetics of pentaerythritol." *The chem. Eng. J.,* Vol. 58, PP. 209-214.
- 11 - Sherwood, (1956). *Petroleum Refiner,* Vol. 35, No. 11, P. 171.
- 12 - Anal., (1965). *Analyt. Chem.,* Vol. 37. No. 11, P. 1361.
- 13 - Simons, T. J., Desilva, R. L. and Creasy, D. E. (1982). "Crystallization of pentaerythritol." *J. Chem. Tech. Biotechnol,* Vol. 32, PP. 518-524.
- 14 - British Patent 936082.
- 15 - JP. Patent 57026633.
- 16 - Werle, (1982). *U.S. patent 4,* Vol. 329, P. 519.
- 17 - Winslow, (1982). *U.S. patent 4,* Vol. 328, P. 966.
- 18 - Wyley, (1980). *U.S. patent 2,* Vol. 414, P. 576.
- 19 - Rogers, J. F. and Creasy, D. E. (1974). "Crystallization of pentaerythritol." *J. appl. Chem. Biotechnol,* Vol. 24, PP. 171-180.
- 20 - Clatworthy, B., Rehmatullah, S., Wahab. A. and Creasy, D. E. (1976). "Crystallization of Pentaerythritol." *J. appl. Chem. Biotechnol.,* Vol. 26, PP. 30-36.
- 21 - Chianese, A., Karel, M. and Mazzarota, B. (1995). "Crystal growth kinetics of pentaerythritol." *The Chem. Eng.J.,* Vol. 58, PP. 215-221.
- 22 - Treybal, R. E. (1980). *Mass transfer operations,* 3rd Ed.
- 23 - Manteghian, *Report on crystallization,* University of Tarbiat Modarress.
- 24 - Wuithier, J. P. (1972). *Raffinage et Genie Chimique,* Vol.1, Ed. Technip.
- 25 - Eek, (1998). *U.S. Patent 5,* Vol. 741, P. 956.
- 26 - Belkin, D. I. (1990). "Experimental data for selection of processes of purification of pentaerythritol." *Zhurnal Prikladnoi Khimii,* Vol. 63, No. 11, PP. 2542-2548.
- 27 - Meadhra, R. O, Kramer, H. J. M. and Rosmalen, G. M. (1996). "Crystallization kinetics of pentaerythritol." *Journal of crystal Growth,* Vol. 166, PP. 1046-1052.

واژه های انگلیسی به ترتیب استفاده در متن

- 1 – Aldrich
- 2 – Ausind
- 3 – Uehama
- 4 – Werle
- 5 – Eek
- 6 – Rogers
- 7 – Kuznetsova
- 8 – British Patent
- 9 – Rehmatullah

10 – Standard Sulphite

11 – Repasova

12 – Chianese

13 – Cox

14 – Wyler

15 – Mertz

16 – Keene

17 – Wyley

18 – Crystallization

19 – Super Saturation

20 – Nucleation

21 – Growth

22 – Miers

23 – Metastable

24 – Labile

25 - Clatworthy